

文章编号: 1000-0550(2014)02-0205-13

贺兰山地区中奥陶统樱桃沟组物源及构造背景分析^①

王振涛 周洪瑞 王训练 景秀春

(中国地质大学(北京)地球科学与资源学院 北京 100083)

摘要 鄂尔多斯盆地西缘贺兰山地区的樱桃沟组发育一套夹有碳酸盐滑塌重力流沉积的陆源碎屑岩。由于缺少可靠的物源数据,对早古生代鄂尔多斯盆地西缘的构造背景尚未有定论。本文对樱桃沟组碎屑岩进行了地球化学及岩石学分析,砂岩碎屑组分特征表明,该组源区大地构造背景为再旋回造山带。常量元素和微量元素地球化学特征表明樱桃沟组的物源呈现双物源的特点。更进一步,樱桃沟组的稀土元素配分模式对比表明了樱桃沟组碎屑岩的物源来自阿拉善古陆和/或北祁连造山带。综合分析砂岩的常量元素、微量元素和稀土元素的地球化学特征,经构造判别图解,认为樱桃沟组物源区主要为主动大陆边缘,也有来自被动大陆边缘的信息,表明贺兰山地区业已受到北祁连早古生代造山带的影响。樱桃沟组与研究区周缘造山带稀土元素配分模式对比研究显示,前者与其北西部阿拉善古陆和南西部北祁早古生代连造山带花岗岩露头稀土元素配分模式一致,均表现为轻稀土富集,重稀土亏损的右倾模式,具有轻微的Eu负异常和明显的Tm负异常,结合中奥陶世鄂尔多斯西缘古水流和碎屑锆石年龄分布特征,认为樱桃沟组的物源主要来自祁连造山带,部分来自阿拉善古陆。

关键词 鄂尔多斯盆地 贺兰山地区 樱桃沟组 构造背景 物源

第一作者简介 王振涛 男 1986年出生 博士生 沉积学 E-mail: gibson_wong@foxmail.com

中图分类号 TE121 **文献标识码** A

0 引言

分布于贺兰山阿拉善左旗地区的中奥陶统樱桃沟组发育一套夹有数套碳酸盐滑塌重力流沉积的陆源碎屑岩,前人^[1-10]对该组的沉积学和古生物学研究颇多,但对其物源尚存不同认识:高振中等^[7]依据浊积岩底面槽模、沟模、交错层理和少数砾屑灰岩中的叠瓦状构造判断贺兰山、胡基台(阿拉善左旗)一带的古流向,认为贺兰山海底扇的物源来自于其东部的鄂尔多斯古陆碳酸盐台地;林畅松等^[3,6]、朱如凯等^[5]、孟祥化等^[8]、郭峰等^[10]认为樱桃沟组为海底扇沉积,其物源来自阿拉善古陆。近来,对鄂尔多斯西缘北段(贺兰山西缘)与鄂尔多斯西缘中南段(牛首山、大罗山、小罗山)的米钵山组砂岩中碎屑锆石 LA-ICP-MS U-Pb 定年研究表明,其物源均来自阿拉善地块和北祁连造山带,且主要来自北祁连造山带^[11,12]。

长期以来,由于缺少非常可靠的物源数据,对早古生代鄂尔多斯盆地西缘的构造背景尚未有定论,具体讨论见张进等^[11]。本文对樱桃沟组碎屑岩进行了地球化学及岩石学分析,取得了可靠的物源数据,进而判断该出地层的源区,其结果与近来通过碎屑锆石

及其沉积相分析得出的结论基本一致,进一步指出了阿拉善东缘的奥陶纪碎屑岩的物源是祁连山及其阿拉善本身,而没有来自华北板块的信息。在此基础上,对中奥陶世鄂尔多斯盆地的构造背景进行了分析和讨论。

1 区域地质概况

鄂尔多斯盆地位于华北克拉通的西部^[13],是一个稳定沉降、凹陷迁移、扭动明显的多旋回克拉通含油气盆地^[14],经历了复杂的构造和沉积演化历史^[15-20]。鄂尔多斯盆地古生代处于大型稳定克拉通盆地发育阶段^[19],发育了区域性的海相沉积。早古生代寒武纪—中奥陶世马家沟期鄂尔多斯盆地的古地理呈现“一隆三凹”的古构造格局,中奥陶世平凉期至晚奥陶世,呈现“一隆两凹”的古地理背景^[21],即鄂尔多斯盆地的西缘和南缘在早古生代期间一直为沉积凹陷,与盆地内部存在较大差异,盆地西部和南部以较深水相的海槽沉积为主,而盆地内部则以碳酸盐台地相沉积为主^[22]。鄂尔多斯盆地西缘奥陶系海底扇、等深流、浊积岩、内潮汐等沉积^[3,5,7,9,23-28]发育,对周围构造事件响应突出,是研究鄂尔多斯盆地

^①国家重点基础研究发展计划(973计划)项目(编号:2011CB403001)资助
收稿日期:2013-03-06; 收修改稿日期:2013-06-27

西缘构造体制的理想地区。

研究区位于鄂尔多斯盆地西缘北部的贺兰山西麓,其北西为阿拉善地块,南西以青铜峡—固原断裂为界与北祁连早古生代造山带相望,东临鄂尔多斯地块,南北分别为祁连海槽和兴蒙海槽,总体呈南宽北窄的楔形体,从北祁连地区向NNE方向楔入阿拉善地块与鄂尔多斯地块之间(图1)。

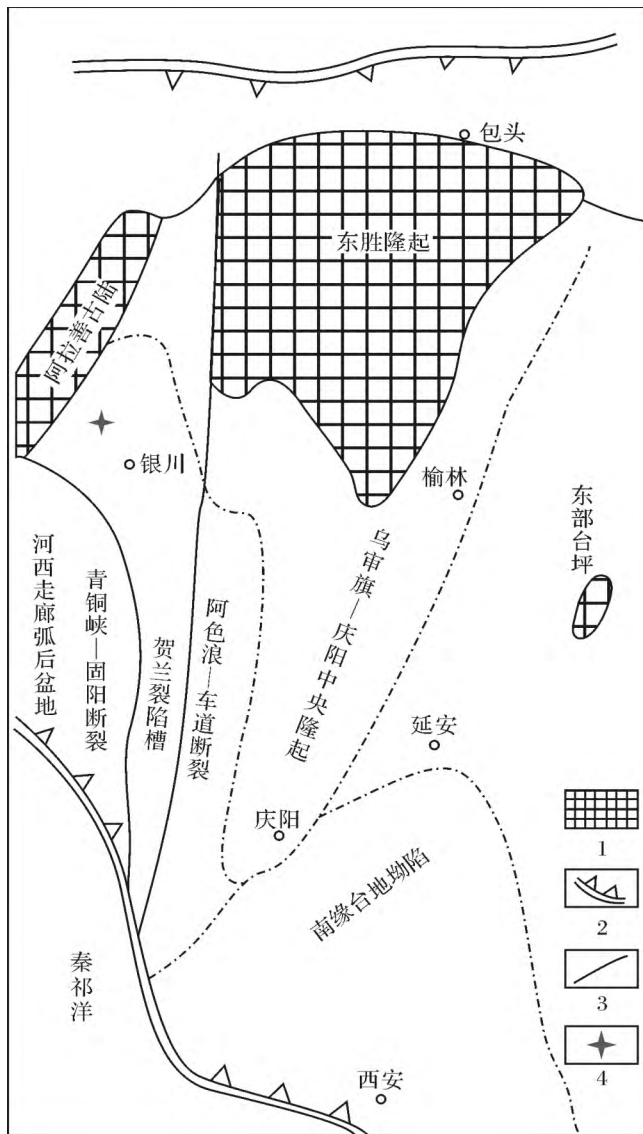


图1 鄂尔多斯盆地西缘早古生代构造略图
(据文献[29]简化)

1. 古陆; 2. 俯冲带; 3. 断裂; 4. 研究区

Fig.1 Schematic geotectonic map and paleocurrent direction in western Ordos basin

(base map simplified from Zhang Hong, 1995)

1. ancient landmass; 2. subduction zone; 3. fault; 4. study area

2 樱桃沟组地层划分和沉积特征

樱桃沟组分布于贺兰山西麓的樱桃沟、胡基台等地,厚度及岩相变化剧烈。在樱桃沟厚141 m,向西至胡基台、方家田一带(相距15 km),厚度增至1771 m,岩性也随之变化,由薄层泥晶灰岩、砾屑灰岩夹黑色板岩、青灰色板岩与砂岩互层变为粒度更粗的砂、板岩不等厚互层、夹砾岩、砾屑灰岩、砂质灰岩等^[4]。胡基台剖面与下伏中梁子组整合接触,与上覆石炭系羊虎沟组不整合接触(图2A)。整体上樱桃沟组为一套陆源碎屑浊流夹碳酸盐角砾岩沉积,主要岩性为灰绿色砂页岩夹数层厚度不等的角砾灰岩(图2B)。研究普遍认为樱桃沟组沉积于贺兰坳拉槽边缘斜坡带的深水—半深水环境^[1-9]。

对樱桃沟组地层时代归属的认识前后存在一些变化。早期曾一度认为樱桃沟组为早奥陶世晚期沉积,例如葛梅钰等^[30]对采自樱桃沟和胡基台剖面的笔石的研究。安太庠等^[1]和郑昭昌等^[2]认为该组发育的牙形石是混杂的牙形石动物群,根据牙形石序列和地层展布特征将其时代限定为牯牛潭期,可与华北腹地的上马家沟组对比(图2C)。宁夏回族自治区地质矿产局^[31,32]认为樱桃沟组与中奥陶统米钵山组岩性相当、层位一致。综上,本文采用樱桃沟组沉积于达瑞威尔阶的认识。

3 樱桃沟组砂岩碎屑成分特征

根据砂岩的成分判断其物源区的构造性质,已经成为盆地分析的通用方法之一^[33,34]。对该组48个薄片进行了碎屑统计分析,砂岩几乎全为长石岩屑砂岩,遂选取了10个典型薄片进行了碎屑颗粒百分含量统计分析(表1)。将统计结果投影到Qt-F-L、Qm-F-Lt图解(图3)^[35,36]中,可以清楚的看到樱桃沟组源区的大地构造背景一致表现为再旋回造山带。

4 樱桃沟组砂岩地球化学特征

通过物源分析可了解物源区的气候条件和大地构造背景^[37]。地球化学在物源及沉积背景分析中起着非常重要的作用,可以解决一些其他方法无法解决的难题^[38]。笔者通过详细的室内岩石薄片鉴定,对其中的10个具有代表性的样品统一进行了常量元素、微量元素和稀土元素测试(表2,3A)。

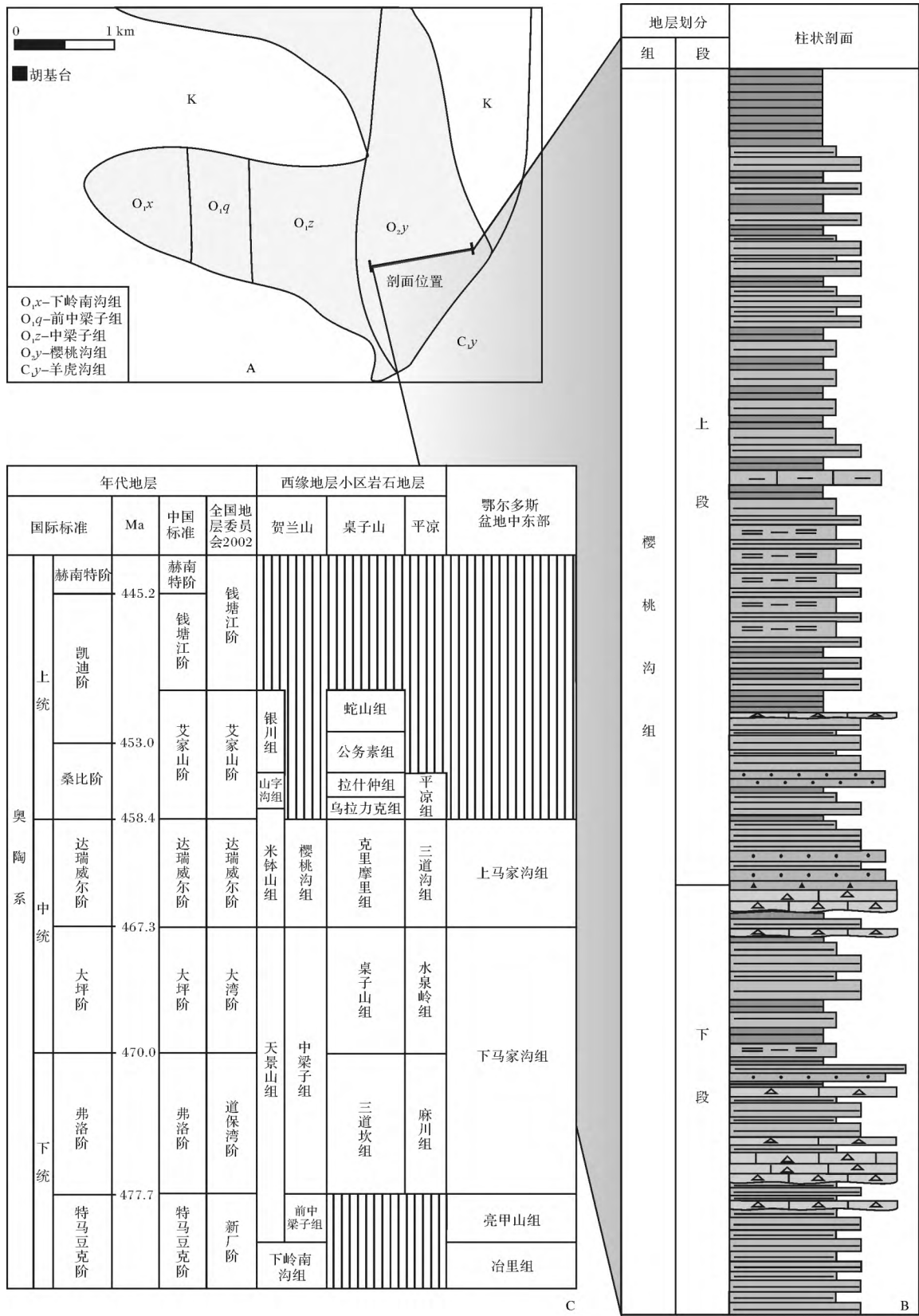


图 2 樱桃沟组剖面位置(A 据文献[9])、岩性特征(B)及其地层对比(C)

Fig.2 Location(A after literature[9]) and lithologic character (B) of Yingtaogou Formation and its stratigraphic correlation(C)

表 1 樱桃沟组砂岩颗粒组成百分含量(%)
Table 1 Content(%) of the sandstone in the Yingtaogou Formation

样号	Qt-F-L			Qm-F-Lt		
	Qt	F	L	Qm	F	Lt
H-1-R-1	68	13	19	49	13	38
H-1-R-2	57	15	28	36	15	49
H-1-R-3	55	15	30	31	15	54
H-3-R-1	54	21	25	37	21	42
H-4-R-1	67	13	20	45	13	42
H-4-R-2	64	16	20	39	16	45
H-5-R-2	54	10	36	36	10	54
H-6-R-1	55	15	30	31	15	54
H-9-R-1	66	14	20	44	14	42
H-16-R-1	59	11	30	37	11	52

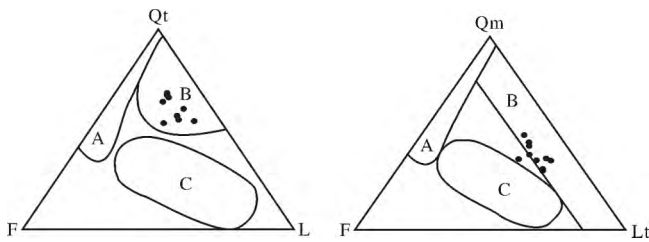


图 3 樱桃沟组砂岩碎屑平均组分图解

A. 克拉通; B. 再旋回造山带; C. 岩浆弧

Fig.3 Diagram showing the average component of the sandstone of the Yingtaogou Formation

A. cratons; B. recycled orogenic belt; C. magmatic arc

4.1 常量元素特征

由 $Fe_2O_3 + MgO$ 百分含量分别与 TiO_2 、 Al_2O_3 / SiO_2 、 K_2O / Na_2O 、 $Al_2O_3 / (CaO + Na_2O)$ 百分含量的关系和其构造环境判别图解(图 4)^[39]可以看出,研究区樱桃沟组砂岩常量元素与 Bhatia^[39]的数据相比,具有如下特征:①有较为正常的 $Fe_2O_3 + MgO$ 百分含量,变化范围在 2.82%~5.21%之间,平均值为 3.72%;②有较低的 TiO_2 、 Al_2O_3 / SiO_2 百分含量, TiO_2 百分含量变化范围在 0.37%~0.56%之间,平均值为 0.44%; Al_2O_3 / SiO_2 百分含量变化范围在 0.08%~1.14%之间,平均值为 0.1%;③有较高的 K_2O / Na_2O 百分含量和较低的 $Al_2O_3 / (CaO + Na_2O)$ 百分含量, K_2O / Na_2O 百分含量变化范围在 1.05%~3.21%之间,平均值为 2.25%; $Al_2O_3 / (CaO + Na_2O)$ 百分含量变化范围在 1.09%~3.05%之间,平均值为 1.91%;④ $Fe_2O_3 + MgO$ 与 TiO_2 的构造判别图上,1 个点落在大陆岛弧区域内,1 个落在被动大陆边缘范围内,其他 8 个点均落在了活动大陆边缘区域内;在 $Fe_2O_3 + MgO$ 和 Al_2O_3 / SiO_2 的构造判别图上,1 个点落在了活动大陆边缘区域内,7 个点落在了被动大陆边缘范围内;在 $Fe_2O_3 + MgO$ 和 K_2O / Na_2O 构造判别图上,1 个点落在被动大陆边缘区域内;在 $Fe_2O_3 + MgO$ 和 $Al_2O_3 / (CaO + Na_2O)$ 构造判别图上,有 4 个点落到了活动大陆边缘

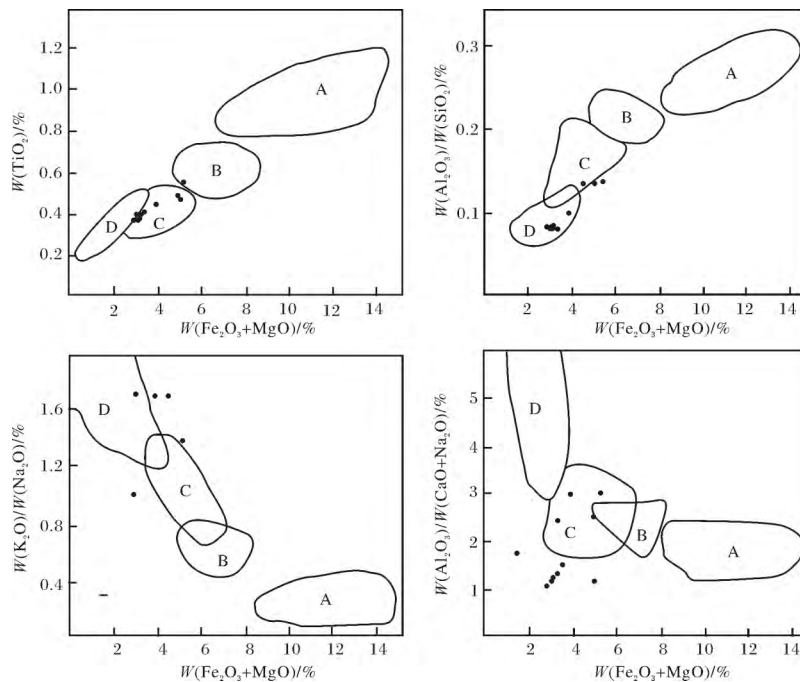


图 4 常量元素构造环境判别图(底图据文献[39])

A. 大洋岛弧; B. 大陆岛弧; C. 活动大陆边缘; D. 被动大陆边缘; Fe_2O_3 代表全铁

Fig.4 Diagram of major elements and tectonic setting

A. Oceanic island arc; B. Continental island arc; C. Active continental margin; D. Passive continental margin; Fe_2O_3 represents total iron

上。由以上数据可以看出,研究区中奥陶世樱桃沟组具有高的 K_2O 含量、低的 Al_2O_3 含量,高的 K_2O/Na_2O 比值和低的 $Al_2O_3/(CaO+Na_2O)$ 比值,其物源区总体成分主要与活动边缘和被动大陆边缘相关。

同时,根据 Roser^[40]对砂岩、泥岩套提出的 $SiO_2-K_2O/Na_2O-TiO_2-SiO_2$ 图解(图 5),可判断出被动大陆边缘和活动大陆边缘是樱桃沟组的主要物源区;在 TiO_2-SiO_2 图解上,样品落入沉积岩区,说明樱桃沟组物质来源于正常沉积。

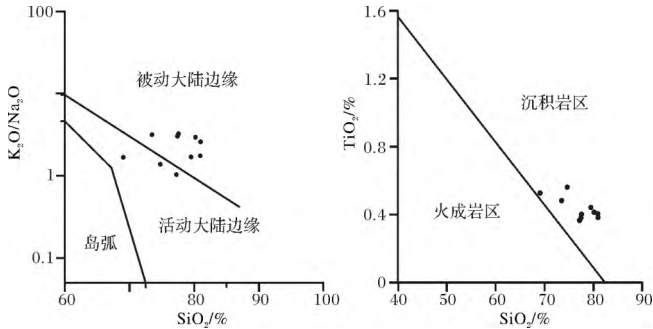


图 5 砂岩、粉砂岩常量元素源区构造背景判别图解
Fig.5 Major element ratios diagrams of sandstones and siltstones for tectonic setting

4.2 微量元素特征

陆源碎屑岩中的微量元素具有较大的稳定性,其

含量变化与源区构造背景之间存在着必然联系。细粒沉积物中的微量元素已被广泛应用于沉积源区的确定和构造背景分析等研究中^[41]。

对研究区实验测得的微量元素数据进行了 Th-Co-Zr/10、Th-Sc-Zr/10、La-Th-Sc 等 3 个判别图解^[39-42] 投点(图 6①-③)。La-Th-Sc 判别图解上,都落在了活动大陆边缘和被动大陆边缘区域内;Th-Co-Zr 判别图解上,1 个点落在了活动大陆边缘区域内,6 个点落在了被动大陆边缘区域内;Th-Sc-Zr 判别图解上 2 个点落在了活动大陆边缘区域内,6 个点落在了被动大陆边缘区域内。用樱桃沟组微量元素含量及比值与 Bhatia 等^[42] 总结的微量元素丰度相对比可知,Pb、Rb/Sr、Hf、Nb、Zr/Th、Ti、Sc、Co、Zn 等的平均值指示被动大陆边缘环境;Th 的平均值指示活动大陆边缘和被动大陆边缘环境。同时,对微量元素数据进行了 La/Th、La/Th-Hf 和 La/Y-Sc/Cr 源岩判别图解的投点分析。在 La/Y-Sc/Cr 判别图解(图 6④)上,完全落在了被动大陆边缘区域内;在 La/Th 判别图解(图 6⑤)上,只有一个点落在了活动大陆边缘和被动大陆边缘范围内;La/Th-Hf 判别图解(图 6⑥)上表明有古老沉积物的混入。综合上述数据特征,研究区中奥陶世樱桃沟组源区表现为被动大陆边缘和活动大陆边缘构造特征。

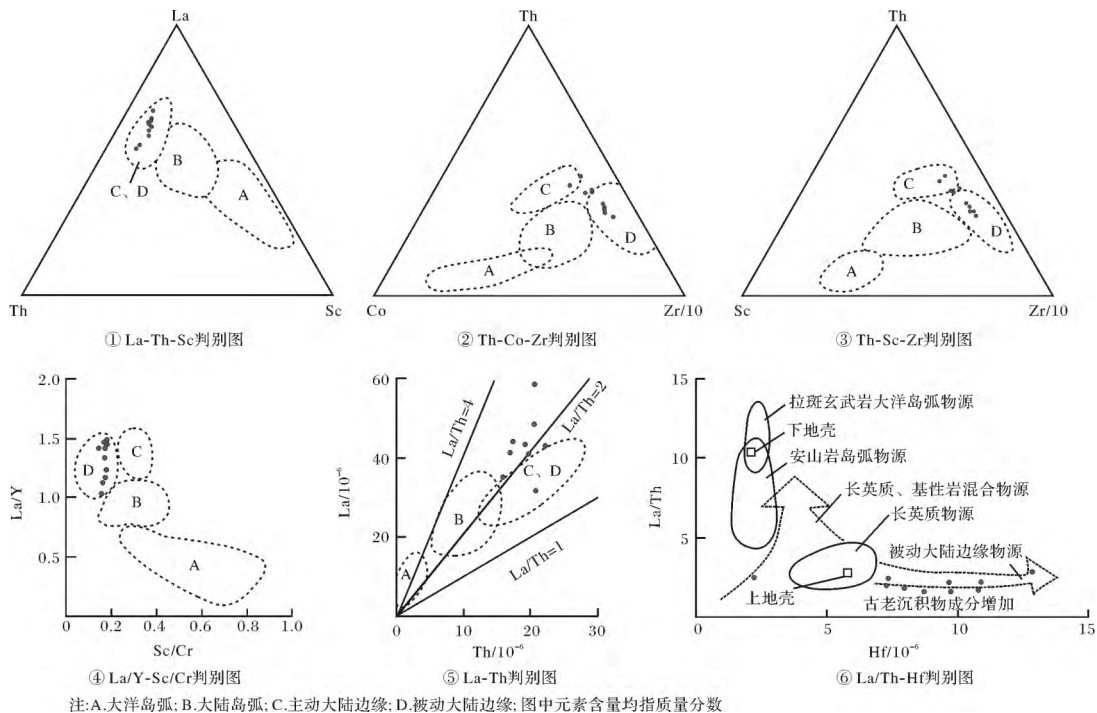


图 6 砂岩微量元素构造环境判别图
A. 大洋岛弧; B. 大陆岛弧; C. 主动大陆边缘; D. 被动大陆边缘; 图中元素含量均指质量分数
Fig.6 Discrimination diagrams of tectonic setting based on trace elements of detrital rocks

4.3 稀土元素特征

碎屑岩的 REE 含量主要受控于其物源区岩石成分^[43, 44], 其配分模式从源岩到沉积物没有明显变化^[41, 45, 46], 常被用作判别源区岩石的主要标志^[47-49]。另外, 通过研究区和疑似物源区稀土元素配分曲线位置的高低、倾斜程度、铈异常以及曲线总体形态的相互对比来分析研究区的物源^[50-53], 也是目前物源分析中应用最广也最有效的手段之一。

研究区樱桃沟组 Σ REE 的最小值为 176.0 ppm, 最大值为 368.8 ppm, 平均值为 259.5 ppm; LREE/HREE 最小值 2.604, 最大值为 3.486, 平均值为 3.034, LREE 富集, HREE 亏损。 δ Eu 最小值为 0.189, 最大值为 0.233, 平均值为 0.207, δ Eu 轻度亏损; δ Tm 最小值为 0.154, 最大值为 0.160, 平均值为 0.158, δ Tm 严重亏损。REE 配分模式图中(图 7A), 10 个样品均为轻稀土富集型, δ Eu 轻度亏损, δ Tm 严重亏损, “谷”状明显, 曲线展布特征、规律一致。上述 REE 特征值和配分曲线特征与活动大陆边缘模式曲线特征^[48]较为一致。

在樱桃沟组砂岩稀土元素数据的基础上, 笔者搜集并分析了前人在研究区周缘构造单元(阿拉善古陆、苏右旗—林西构造带、阴山造山带、北祁连造山带)岩石的稀土元素数据^[54-57], 为方便对比研究, 统一采取 Boynton^[58]推荐的球粒陨石平均值对其进行标准化(图 7B—F), 结果显示后者仅与阿拉善古陆花岗岩和北祁连早古生代造山带花岗岩 REE 特征值和配分模式曲线一致, 均为轻稀土富集型, δ Eu 轻度亏损和 δ Tm 严重亏损, 反应樱桃沟组的物源为阿拉善古陆和北祁连造山带, 或者二者之一。

4.4 物源分析

中奥陶世, 鄂尔多斯地块虽整体处于剥蚀状态, 但其上为巨厚的碳酸盐岩覆盖, 并不能提供大量的陆源碎屑, 并且在研究区西部的巴彦浩特盆地亦发育与研究区樱桃沟组可对比的地层^[4], 表明樱桃沟组砂岩物源基本与华北板块无关。樱桃沟组砂岩的常量元素和微量元素地球化学特征及构造判别图解, 表明樱桃沟组的物源呈现双物源的特点, 即砂岩主要与活动大陆边缘和被动大陆边缘有关, 更进一步, 樱桃沟组的稀土元素配分模式对比表明了樱桃沟组碎屑岩的物源来自阿拉善古陆和/或北祁连造山带。

北祁连造山带经由寒武纪裂谷盆地、奥陶纪初期成熟洋盆、奥陶纪中晚期北祁连活动大陆边缘^[59-67]或奥陶纪多岛洋盆^[66]、志留纪一早、中泥盆世碰撞造

山过程^[67]。可见, 北祁连从新元古代开始裂陷, 经过寒武纪的裂谷盆地、奥陶纪初期形成成熟的洋盆期间, 其北侧的阿拉善地块南缘为离散型大陆边缘, 于奥陶纪中晚期为北祁连弧后盆地构造背景, 发育碎屑岩建造, 以变质砂岩粉砂岩为主^[65]。与樱桃沟期鄂尔多斯古陆发育碳酸盐岩不同, 阿拉善陆块业已满足了为樱桃沟组提供物源的岩性条件, 但其是否是物源区, 还需要进一步的证据。

近来, 碎屑锆石的研究为中奥陶世研究的物源提供了更为清晰的证据。中奥陶统米钵山组砂岩碎屑锆石 LA-ICP-MS U-Pb 年龄谱与区域岩浆热事件对比(图 8)分析表明, 鄂尔多斯西缘北段(贺兰山西缘)与鄂尔多斯西缘中南段(牛首山、大罗山、小罗山)的米钵山组物源均为阿拉善地块和北祁连造山带, 且主要来自北祁连造山带^[11, 12], 即中奥陶世北祁连造山带物源业已影响到贺兰山地区。据此推测, 同处阿拉善东缘、同时期的樱桃沟组其物源势必也与米钵山组相同。

需要注意的是, 在上述各种判别图解中, 砂岩图解均说明来自再旋回造山带, 而其它图解大多数是指出樱桃沟组碎屑岩有一部分来自被动大陆边缘, 结合上述分析, 此部分理应来自阿拉善陆块, 而那些显示来自再旋回造山带、活动大陆边缘的物源区对应了北祁连造山带。这同时也得到了以下研究的支持。Darby 和 Gehrels^[68]认为桌子山地区元古宇和寒武系主要来自华北板块本身, 而奥陶系物源则发生了很大变化。无独有偶, 阿拉善东缘(贺兰山西侧)南部的白银地区(鄂尔多斯西缘南段)早奥陶世晚期以来沉积环境也发生了显著变化, 物源从早期的阿拉善地区变为南侧的岛弧^[69]。因此, 在其后的中奥陶世, 贺兰山地区的沉积响应反应来自阿拉善陆块及其南部的岛弧区(北祁连造山带)的这种双物源特点是极其合理的。

5 讨论

围绕奥陶纪鄂尔多斯盆地西缘的构造背景是“贺兰坳拉槽”^[3, 5, 6, 70-73]还是岛弧及弧后环境或弧后前陆盆地^[11, 74-76], 一直争议不断。传统观点认为, 鄂尔多斯陆块西部的贺兰坳拉槽与其南部的秦祁海槽构成三叉裂谷系, “贺兰坳拉槽”为其中的衰亡支^[14, 70, 71, 73, 77], 长期以来以坳拉槽构造体制作为鄂尔多斯盆地西缘沉积演化解释的依据^[3, 5-8, 25, 28]。然而, 坳拉槽构造体制无法解决一些基本问题, 诸如

(1) 中奥陶世鄂尔多斯盆地西缘南侧为岛弧环境^[69], 而坳拉槽是大陆裂解阶段的产物, 两者在构造性质上存在基本的矛盾; (2) 如果是坳拉槽为什么碎屑锆石没有发现来自华北的信息^[11]? 张进^[76] 还提出了早古生代“贺兰坳拉槽”并不存在的 4 个理由。除此以外, 另有学者^[78] 从秦祁贺地区的构造形迹、航磁异常特征和地层分区等方面, 对“贺兰坳拉槽”提出了质疑。

如上文所述, 樱桃沟组砂岩的常量元素、微量元素地球化学特征及构造判别图解和碎屑锆石综合研究均表明该组的物源来自北祁连造山带和阿拉善陆块, 而与华北板块无关。这是用坳拉槽体制无法解释的。近年来, 在鄂尔多斯盆地西缘奥陶系海底扇、等深流、浊积岩等沉积的相继发现^[3, 5, 23-28], 使得对鄂尔多斯盆地西缘中奥陶统古流向的认识更趋全面。高振中等^[24] 认为在中奥陶世沿鄂尔多斯地区西

表 2 樱桃沟组主量元素分析结果(%)

Table 2 Major element analyses(%) of the Yingtaogou Formation

样品编号	岩性	SiO ₂	Al ₂ O ₃	TiO ₂	Fe ₂ O ₃	FeO	CaO	MgO	K ₂ O	Na ₂ O	MnO	P ₂ O ₅	H ₂ O ⁺
H-1-R-3	细粒长石岩屑砂岩	69.03	9.03	0.53	1.41	1.65	6.25	1.39	2.25	1.34	0.047	0.198	2.18
H-9-R-1	中粒长石岩屑砂岩	80.16	6.49	0.41	1.13	1.22	3.47	1.00	2.09	0.71	0.027	0.160	1.47
H-13-R-1	细粒长石岩屑砂岩	73.47	9.72	0.48	1.82	1.58	2.75	1.59	3.05	0.97	0.036	0.155	2.33
H-16-R-1	细粒长石岩屑砂岩	77.54	6.52	0.40	1.23	1.05	4.26	0.94	2.42	0.76	0.040	0.154	1.69
H-20-R-2	细粒长石岩屑砂岩	77.42	6.36	0.38	1.16	0.91	4.67	0.93	2.11	0.70	0.048	0.146	1.62
K-1-R-1	含岩屑砂质砾岩	80.94	7.01	0.39	1.44	0.79	2.15	0.97	2.03	0.78	0.030	0.145	1.75
K-7-R-1	含长石岩屑粉砂岩	74.74	10.24	0.56	1.28	2.32	1.83	1.60	2.10	1.53	0.042	0.189	2.32
K-10-R-1	细粒长石岩屑砂岩	77.22	6.65	0.37	0.88	1.08	4.88	0.87	1.28	1.22	0.085	0.140	1.62
K-13-R-1	细粒含长石岩屑砂岩	79.52	8.14	0.44	1.28	1.46	1.66	1.17	1.80	1.06	0.033	0.158	2.05
K-17-R-2	细粒长石岩屑砂岩	80.90	6.55	0.40	1.14	0.98	2.77	0.93	1.58	0.91	0.042	0.152	1.61

表 3 樱桃沟组微量元素分析结果(×10⁻⁶)

Table 3 Trace element analyses(×10⁻⁶) of the Yingtaogou Formation

样品编号	Ba	Sr	V	Zn	Co	Zr	Cs	Pb	Rb	Sc	Th	U	Cu	Ni	Cr	Ta	Nb
H-1-R-3	240.1	63.6	39.7	38.8	7.16	399.6	2.46	14.8	79.2	6.67	20.39	3.05	11.8	15.8	39.6	0.97	10.77
H-9-R-1	258.1	45.1	37.7	30.8	4.95	372.2	1.92	14.5	70.5	6.01	17.47	2.56	13.2	13.2	36.8	0.77	8.83
H-13-R-1	383.7	51.7	53.5	50.8	8.69	226.4	3.91	18.0	112.3	7.98	21.71	2.52	21.0	20.2	49.1	0.98	11.40
H-16-R-1	384.0	66.5	38.1	32.5	5.33	341.6	2.04	17.7	83.5	6.26	19.13	2.50	11.7	13.7	39.9	0.64	9.25
H-20-R-2	266.3	52.9	32.7	28.6	4.94	289.2	2.10	16.7	72.0	5.65	15.36	2.28	9.4	13.0	35.2	0.65	8.43
K-1-R-1	305.1	40.8	37.8	32.0	5.38	270.4	2.34	15.6	78.6	5.50	21.13	1.98	9.5	14.5	39.0	0.72	8.91
K-7-R-1	266.8	59.3	53.5	60.8	7.51	299.9	2.77	18.7	92.3	8.37	29.73	3.50	23.6	20.8	53.3	1.10	12.95
K-10-R-1	169.1	118.4	36.9	34.5	4.58	225.1	2.15	18.6	58.4	5.72	16.94	2.58	16.2	14.3	35.1	0.71	8.73
K-13-R-1	240.5	66.2	43.2	37.5	6.53	249.8	2.46	27.1	74.9	6.90	19.43	2.76	15.7	17.1	42.2	0.82	10.17
K-17-R-2	214.5	83.6	39.3	28.6	5.58	341.5	1.93	19.3	66.9	6.41	20.40	2.39	13.2	14.3	34.2	0.83	9.56

表 4 樱桃沟组稀土元素分析结果(×10⁻⁶)

Table 4 The REE analyses(×10⁻⁶) of the Yingtaogou Formation

样品编号	Y	La	Ce	Pr	Nd	Sm	Eu	Gd	Tb	Dy	Ho	Er	Tm	Yb	Lu	Hf
H-1-R-3	47.53	59.15	123.4	16.03	60.36	12.11	2.15	10.42	1.83	11.62	2.23	6.52	1.04	6.59	1.13	13.23
H-9-R-1	30.08	44.33	92.57	11.67	43.07	8.19	1.56	7.20	1.20	7.51	1.43	4.26	0.69	4.56	0.85	12.06
H-13-R-1	30.69	43.49	77.64	11.02	41.68	7.97	1.67	7.10	1.20	7.52	1.42	4.26	0.67	4.43	0.72	7.24
H-16-R-1	33.20	44.23	74.62	11.52	42.81	8.33	1.60	7.39	1.31	8.34	1.60	4.92	0.79	5.25	0.89	10.98
H-20-R-2	29.93	35.36	60.99	9.42	35.30	7.07	1.41	6.23	1.12	7.19	1.40	4.17	0.67	4.34	0.72	9.40
K-1-R-1	21.98	31.94	52.44	8.01	29.49	5.59	1.23	4.95	0.86	5.41	1.03	3.09	0.51	3.37	0.62	8.74
K-7-R-1	45.90	48.30	105.7	13.47	51.59	10.10	1.82	9.10	1.62	10.41	2.04	5.97	0.96	6.04	0.98	9.44
K-10-R-1	37.21	42.24	71.86	10.93	41.51	7.96	1.59	7.25	1.31	8.57	1.65	5.00	0.80	5.02	0.80	7.27
K-13-R-1	28.35	41.08	69.20	10.24	37.55	7.05	1.39	6.24	1.06	6.65	1.30	3.86	0.63	4.10	0.70	7.97
K-17-R-2	32.14	47.80	95.69	11.65	42.61	7.99	1.47	7.09	1.21	7.55	1.47	4.34	0.71	4.69	0.83	10.62

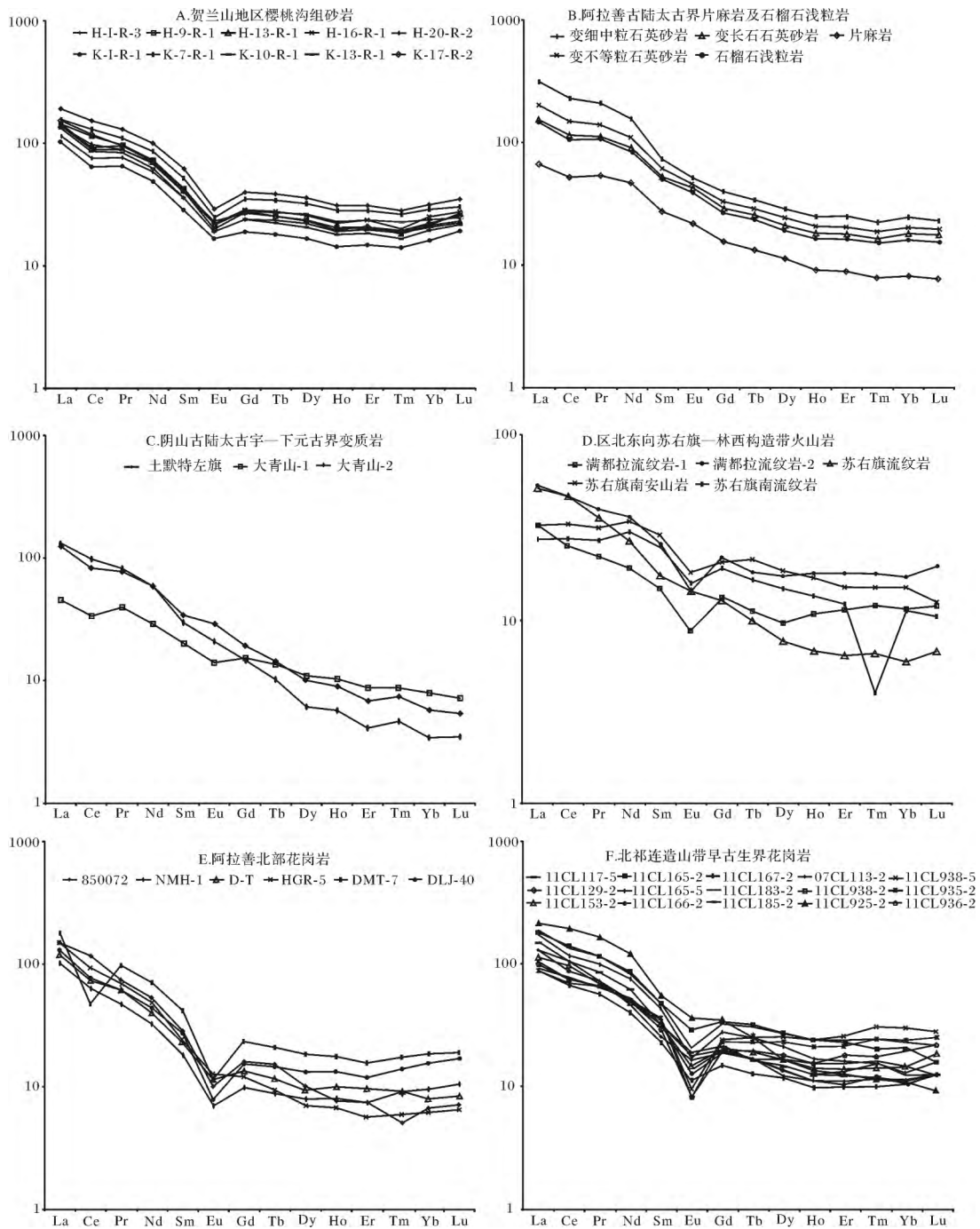


图 7 研究区樱桃沟组与周缘造山带岩系 REE 配分模式

Fig.7 Distribution patterns of rare earth elements from Yingtaogou Formation in Helan Mountains region and rock series of peripheral orogenic belts

A 本文; B、C 据文献 [54]; D 据文献 [55]; E 据文献 [56]; F 据文献 [57]

缘斜坡带存在较强的自南而北的等深流流动体系; 丁海军等^[28]依据在桌子山地区首次发现的克里摩里组等深流沉积, 认为在鄂尔多斯西缘(靠近阿拉善古陆附近) 其等深流方向为南西至北东方向。上述古流

向为北祁连造山带物源供给提供了水动力条件, 并且均暗示其物源来自北祁连地区, 同时亦表明坳拉槽体制的矛盾之处。如若是坳拉槽, 其顶部(桌子山地区) 古流向是从北东向南西流才对!

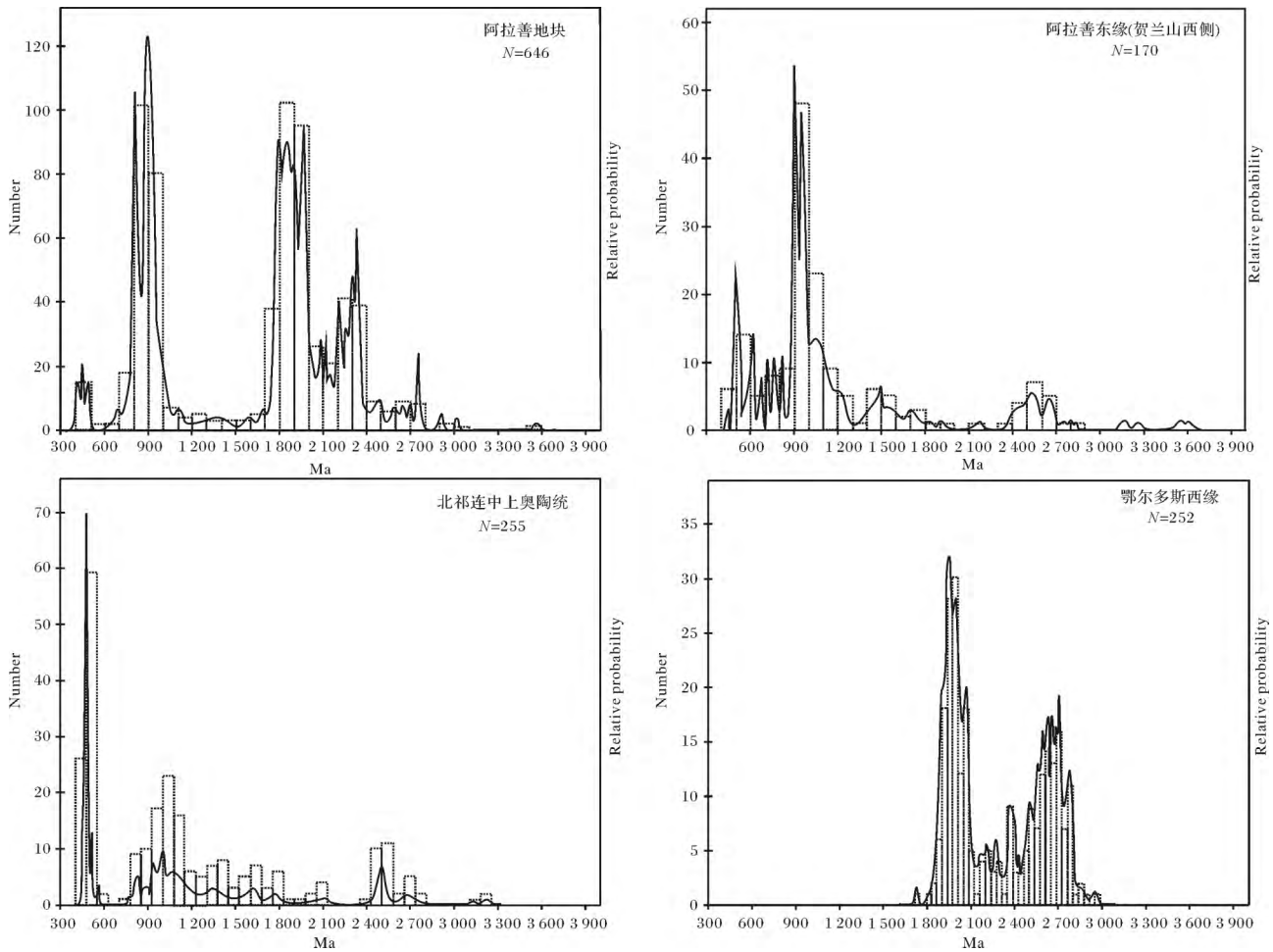


图 8 研究区周围奥陶系碎屑锆石年龄谱分布(据文献[11])

Fig.8 Relative age probability diagrams of the Ordovician strata in the Helan Mountains area and its vicinity (after reference [11])

6 结论

(1) 对贺兰山地区樱桃沟组的室内大量岩石薄片观察和砂岩碎屑颗粒特征统计分析表明,其大地构造背景主要为再旋回造山带;

(2) 研究区樱桃沟组砂岩的常量元素具有较高的 K_2O 含量、低的 Al_2O_3 含量,高的 K_2O/Na_2O 比值和低的 $Al_2O_3/(CaO+Na_2O)$ 比值及其 Fe_2O_3+MgO 百分含量分别与 TiO_2 、 Al_2O_3/SiO_2 、 K_2O/Na_2O 、 $Al_2O_3/(CaO+Na_2O)$ 百分含量的关系表明,中奥陶世研究区物源区具有主动大陆边缘和被动大陆边缘的性质,受到阿拉善古陆和北祁连造山带的双重影响。

(3) 研究区樱桃沟组与研究区周缘造山带的 REE 配分模式对比研究表明,其物源为阿拉善古陆和北祁连造山带。结合阿拉善东缘中奥陶统米钵山组碎屑锆石年龄分布特征、古流向特征,樱桃沟组物源主要来自北祁连造山带,部分来自阿拉善古陆。

致谢 传婷婷,袁路朋,房强,宋先腾一同参加了野外工作,审稿人提出了富有建设性的意见,在此一并致谢。

参考文献(References)

- 1 安太庠,郑昭昌. 鄂尔多斯盆地周缘的牙形石[M]. 北京: 科学出版社,1990: 12-132 [An Taixiang, Zheng Zhaochang. The Conodonts of the Marginal Areas around the Ordos Basin, North China[M]. Beijing: Science Press, 1990: 12-132]
- 2 郑昭昌,李玉珍. 贺兰山奥陶系研究的新进展[J]. 现代地质, 1991, 6(5): 119-137 [Zheng Zhaochang, Li Yuzhen. The new advances in the study of the Ordovician system in Helanshan area[J]. Geoscience, 1991, 6(5): 119-137]
- 3 林畅松,杨起,李思田等. 贺兰奥拉槽早古生代深水重力流体系的沉积特征和充填样式[J]. 现代地质,1991, 5(3): 252-262 [Lin Changsong, Yang Qi, Li Sitian, et al. Sedimentary characters of the Paleozoic deep water gravity flow systems and basin filling style in the Helan aulacogen, Northwest China [J]. Geoscience, 1991, 5(3): 252-262]

- 4 袁效奇 耿国仓. 巴彦浩特盆地东部古生代沉积的发现及其大地构造意义[J]. 石油与天然气地质, 1992, 13(4): 381-389 [Yuan Xiaoqi, Geng Guocang. Discovery of Paleozoic sediments in east Bayanhot Basin and its tectonic significance[J]. Oil & Gas Geology, 1992, 13(4): 381-389]
- 5 朱如凯 孟祥化 葛铭. 巴彦浩特盆地东缘中奥陶统混合型深水重力流沉积层序及其旋回[J]. 沉积学报, 1994, 12(2): 77-85 [Zhu Rukai, Meng Xianghua, Ge Ming. Mixed deep-water gravity current sedimentary sequences of Middle-Ordovician series in the east margin of Bayanhat Basin[J]. Acta Sedimentologica Sinica, 1994, 12(2): 77-85]
- 6 林畅松 杨起 李思田. 贺兰拗拉槽盆地充填演化分析[M]. 北京: 地质出版社, 1995 [Lin Changsong, Yang Qi, Li Sitian. Filling Evolution of Holan Trough [M]. Beijing: Geological Publishing House, 1995]
- 7 高振中 罗顺社 何幼斌 等. 鄂尔多斯西缘奥陶纪海底扇沉积体系[J]. 石油与天然气地质, 1995, 16(2): 119-126 [Gao Zhenzhong, Luo Shunshu, He Youbin, et al. Ordovician submarine fan systems in west margin of Ordos [J]. Oil & Gas Geology, 1995, 16(2): 119-126]
- 8 孟祥化 葛铭. 中朝板块层序·事件·演化[M]. 北京: 科学出版社, 2004: 1-516 [Meng Xianghua, Ge Ming. Sequence, Events, Evolution of Sino-Korean Plate [M]. Beijing: Science Press, 2004: 1-516]
- 9 许强 陈洪德 赵俊兴 等. 贺兰拗拉槽胡基台地区中奥陶统樱桃沟组深海重力流沉积特征[J]. 海相油气地质, 2010, 15(2): 14-20 [Xu Qiang, Chen Hongde, Zhao Junxing, et al. The features of Middle Ordovician Yingtaogou deep-sea gravitational current deposits at Hujitai area in the Helan aulacogen, Ordos Basin [J]. Marine Origin Petroleum Geology, 2010, 15(2): 14-20]
- 10 郭峰 郭岭 赵卫卫. 贺兰拗拉槽奥陶纪岩相古地理[J]. 海相地质与第四纪地质, 2011, 31(5): 51-58 [Guo Feng, Guo Ling, Zhao Weiwei. Ordovician paleogeography in Helan aulacogen [J]. Marine Geology & Quaternary Geology, 2011, 31(5): 51-58]
- 11 张进 李锦轶 刘建峰 等. 早古生代阿拉善地块与华北地块之间的关系: 来自阿拉善东缘中奥陶统碎屑锆石的信息[J]. 岩石学报, 2012, 28(9): 2912-2934 [Zhang Jin, Li Jinyi, Liu Jianfeng, et al. The relationship between the Alxa Block and the North China Plate during the Early Paleozoic: New information from the Middle Ordovician detrital zircon ages in the eastern Alxa Block [J]. Acta Petrologica Sinica, 2012, 28(9): 2912-2934]
- 12 Zhang J, Li J Y, Liu J F. Detrital zircon U-Pb ages of Early Paleozoic flysch sandstones in the western Ordos margin-New constraints on their provenances and tectonic implications [J]. Journal of Asian Earth Sciences, 2011, 42(5): 1030-1047
- 13 Zhao G C, Sun M, Wilde S A, et al. Late Archean to Paleoproterozoic evolution of the North China Craton: key issues revisited [J]. Precambrian Research, 2005, 136(2): 177-202
- 14 杨俊杰. 鄂尔多斯盆地构造演化与油气分布规律[M]. 北京: 石油工业出版社, 2002: 1-38 [Yang Junjie. Tectonic Evolution and Oil-Gas Distribution Rules in Ordos Basin [M]. Beijing: Petroleum Industry Press, 2002: 1-38]
- 15 张金川. 鄂尔多斯盆地构造演化及含油气展望[J]. 石油与天然气地质, 1982, 3(4): 304-315 [Zhang Jinchuan. Tectonic evolution of Ordos Basin and its oil and gas potential [J]. Oil & Gas Geology, 1982, 3(4): 304-315]
- 16 Sun Z, Xie Q, Yang J. Ordos Basin -A typical example of an unstable cratonic interior superimposed basin [M] // Zhu X, Xu W. Chinese Sedimentary Basins. Amsterdam: Elsevier, 1989, 148-168
- 17 王玉新. 鄂尔多斯地块早古生代构造格局及演化[J]. 地球科学, 1994, 19(6): 778-786 [Wang Yuxin. Tectonic framework and evolution of Ordos Massif in Early Paleozoic [J]. Earth Science, 1994, 19(6): 778-786]
- 18 王同和. 晋陕地区地质构造演化与油气聚集[J]. 华北地质矿产杂志, 1995, 10(3): 283-398 [Wang Tonghe. Evolutionary characteristics of geological structure and oil-gas accumulation in Shanxi-Shaanxi area [J]. Journal of Geology & Mineral Resources of North China, 1995, 10(3): 283-398]
- 19 杨遂正 金文化 李振宏. 鄂尔多斯多旋回叠合盆地形成与演化[J]. 天然气地球科学, 2006, 17(4): 494-498 [Yang Suizheng, Jin Wenhua, Li Zhenhong. Multicycle superimposed basin aition and evolution of Ordos Basin [J]. Natural Gas Geosciences, 2006, 17(4): 494-498]
- 20 赵振宇 郭彦如 王艳 等. 鄂尔多斯盆地构造演化及古地理特征研究进展[J]. 特种油气田, 2012, 19(5): 15-20 [Zhao Zhenyu, Guo Yanru, Wang Yan, et al. Study progress in tectonic evolution and paleogeography of Ordos Basin [J]. Special Oil & Gas Reservoirs, 2012, 19(5): 15-20]
- 21 冯增昭 鲍志东 康祺法 等. 鄂尔多斯早古生代古构造[J]. 古地理学报, 1999, 1(2): 84-91 [Feng Zengzhao, Bao Zhidong, Kang Qifa, et al. Palaeotectonics of Ordos in the Early Palaeozoic [J]. Journal of Palaeogeography, 1999, 1(2): 84-91]
- 22 杨华 付金华 包洪平. 鄂尔多斯地区西部和南部奥陶纪海槽边缘沉积特征与天然气成藏潜力分析[J]. 海相油气地质, 2010, 15(2): 1-13 [Yang Hua, Fu Jinhua, Bao Hongping. Sedimentary characteristics and gas accumulation potential along margin of Ordovician trough in western and southern parts of Ordos [J]. Marine Origin Petroleum Geology, 2010, 15(2): 1-13]
- 23 吴胜和 冯增昭 张吉森. 鄂尔多斯地区西缘及南缘中奥陶统平凉组重力流沉积[J]. 石油与天然气地质, 1994, 15(3): 226-235 [Wu Shenghe, Feng Zengzhao, Zhang Jisen. Sedimentology of gravity flow deposits of Middle Ordovician Pingliang Formation in west and south margins of Ordos [J]. Oil & Gas Geology, 1994, 15(3): 226-235]
- 24 高振中 罗顺社 何幼斌 等. 鄂尔多斯地区西缘中奥陶统等深流沉积[J]. 沉积学报, 1995, 13(4): 16-25 [Gao Zhenzhong, Luo Shunshu, He Youbin, et al. The Middle Ordovician contourite on the west margin of Ordos [J]. Acta Sedimentologica Sinica, 1995, 13(4): 16-25]
- 25 晋慧娟 孙明良 李育慈. 内蒙古桌子山中奥陶统的“特殊”浊积岩系[J]. 沉积学报, 2005, 23(1): 34-40 [Jin Huijuan, Sun Mingliang, Li Yuci. The “special” turbidite measure of the Middle Ordovician series in Zhuozishan area, Inner Mongolia [J]. Acta Sedimentologica Sinica, 2005, 23(1): 34-40]

- 26 何幼斌,高振中,罗顺社,等. 陕西陇县地区平凉组三段发现内潮汐沉积[J]. 石油天然气学报,2007,29(4):28-33 [He Youbin, Gao Zhenzhong, Luo Shunshu, *et al.* Discovery of internal-tide deposits from the Third member of Pingliang Formation in Longxian area, Shanxi province[J]. Journal of Oil and Gas Technology, 2007, 29(4): 28-33]
- 27 丁海军,孟祥化,葛铭. 米钵山组复理石中的内潮汐沉积[J]. 安徽地质,2008,18(4):241-247 [Ding Haijun, Meng Xianghua, Ge Ming. Internal tide and internal wave deposits in flysch of Miboshan Formation[J]. Geology of Anhui, 2008, 18(4): 241-247]
- 28 丁海军,孟祥化,葛铭,等. 贺兰拗拉谷北段奥陶系等深流沉积[J]. 地球科学与环境学报,2009,31(1):58-65 [Ding Haijun, Meng Xianghua, Ge Ming, *et al.* Ordovician contourite of the north part of Helan aulacogen[J]. Journal of Earth Sciences and Environment, 2009, 31(1): 58-65]
- 29 张泓,白清昭,张笑微,等. 鄂尔多斯聚煤盆地形成与演化[M]. 西安: 陕西科学技术出版社,1995 [Zhang Hong, Bai Qingzhao, Zhang Xiaowei, *et al.* Formation and Evolution of Ordos Coal-accumulating Basin[M]. Xi'an: Shaanxi Science and Technology Press, 1995]
- 30 葛梅钰,郑昭昌,李玉珍. 宁夏及其邻近地区奥陶纪、志留纪笔石地层及笔石群[M]. 南京: 南京大学出版社,1990: 1-190 [Ge Meiyu, Zheng Zhaochang, Li Yuzhen. The Ordovician and Silurian Graptolite Stratum and Graptolite Fauna in Ningxia and Its Neighboring Regions[M]. Nanjing: Nanjing University Press, 1990: 1-190]
- 31 宁夏回族自治区地质矿产局. 宁夏回族自治区区域地质志[M]. 北京: 地质出版社,1990: 1-522 [Bureau of Geology and Mineral Resources of Ningxia Hui Autonomous Region. Regional Geology of Ningxia Hui Autonomous Region[M]. Beijing: Geological Publishing House, 1990: 1-522]
- 32 宁夏回族自治区地质矿产局. 宁夏回族自治区岩石地层[M]. 武汉: 中国地质大学出版社,1996: 1-132 [Bureau of Geology and Mineral Resources of Ningxia Hui Autonomous Region. Stratigraphy (Lithostratic) of Ningxia Hui Autonomous Region[M]. Wuhan: China University of Geosciences Press, 1996: 1-132]
- 33 Dickinson W R, Suczek C A. Plate tectonics and sandstone compositions[J]. The American Association of Petroleum Geologists Bulletin, 1997, 63(12): 2164-2182
- 34 Hendrix M S. Evolution of Mesozoic sandstone compositions, Southern Junggar, Northern Tarim, and Western Turpan Basins, Northwest China: A detrital record of the ancestral Tian Shan[J]. Journal of Sedimentary Research, 2000, 70(3): 520-532
- 35 Dickinson W R. Provenance of North American Phanerozoic sandstones in relation to tectonic setting[J]. GSA Bulletin, 1983, 94(2): 222-235
- 36 Dickinson W R. Interpreting Provenance Relations from Detrital Modes of Sandstones[M]// Zuffa G G. Provenance of Arenites. Netherlands: Springer, 1985: 333-361
- 37 杜远生,颜佳新,韩欣. 造山带沉积地质学研究的新进展[J]. 地质科技情报,1995,14(1):29-34 [Du Yuansheng, Yan Jiaxin, Han Xin. Advances of sedimentary geology in orogenic belt[J]. Geological Science and Technology Information, 1995, 14(1): 29-34]
- 38 毛光周,刘池洋. 地球化学在物源及沉积背景分析中的应用[J]. 地球科学与环境学报,2011,33(4):337-349 [Mao Guangzhou, Liu Chiyang. Application of geochemistry in provenance and depositional setting analysis[J]. Journal of Earth Sciences and Environment, 2011, 33(4): 337-349]
- 39 Bhatia M R. Plate tectonics and geochemical composition of sandstones[J]. The Journal of Geology, 1983, 91(6): 611-627
- 40 Roser B P, Korsch R J. Determination of tectonic setting of sandstone-mudstone suites using SiO₂ content and K₂O/Na₂O ratio[J]. The Journal of Geology, 1986, 94(5): 635-650
- 41 Taylor S R, McLennan S M. The continental crust: its composition and evolution: an examination of the geochemical record preserved in sedimentary rocks[M]. Oxford: Blackwell Scientific Publications, 1985
- 42 Bhatia M R, Crook K A. Trace element characteristics of graywackes and tectonic setting discrimination of sedimentary basins[J]. Contributions to Mineralogy and Petrology, 1986, 90(2): 181-193
- 43 Fleet A R. Aqueous and sedimentary geochemistry of the rare earth elements[J]. Rare Earth Element Geochemistry, 1984, 2: 331-373
- 44 McLennan S M. Rare earth elements in sedimentary rocks: Influence of provenance and sedimentary processes[J]. Reviews in Mineralogy and Geochemistry, 1989, 21(1): 169-200
- 45 Condie K C. Another look at rare earth elements in shales[J]. Geochimica et Cosmochimica Acta, 1991, 55: 2527-2531
- 46 Huertas M O, Palomo I, Moresi M, *et al.* A mineralogical and geochemical approach to establish a sedimentary model in a passive continental margin Sabetic Zone, Betic Cordilleras, Sepein[J]. Clay Minerals, 1991, 26: 389-407
- 47 Bhatia M R, Taylor S R. Trace-element geochemistry and sedimentary provinces: A study from the Tasman Geosyncline, Australia[J]. Chemical Geology, 1981, 33(1/2): 115-125
- 48 Bhatia M R. Rare earth element geochemistry of Australian Paleozoic graywackes and mudrocks: Provenance and tectonic control[J]. Sedimentary Geology, 1985, 45(1/2): 97-113
- 49 Girty G H, Hanson A D, Knaack C *et al.* Provenance determined by REE, Th, and Sc analyses of metasedimentary rocks, Boyden Cave roof pendant, Central Sierra Nevada, California[J]. Journal of Sedimentary Research, 1994, 64(1): 68-73
- 50 宋凯,吕剑文,杜金良,等. 鄂尔多斯盆地中部上三叠统延长组物源方向分析与三角洲沉积体系[J]. 古地理学报,2002,4(3):59-66 [Song Kai, Lü Jianwen, Du Jinliang, *et al.* Source direction analysis and delta depositional systems of Yanchang Formation of the Upper Triassic in the central Ordos Basin[J]. Journal of Palaeogeography, 2002, 4(3): 59-66]
- 51 王昌勇,郑荣才,王海红,等. 鄂尔多斯盆地姬塬地区长6油层组物源区分析[J]. 沉积学报,2008,26(6):933-938 [Wang Changyong, Zheng Rongcai, Wang Haihong, *et al.* Provenance analysis of Chang-6 oil reservoir set in Jiuyan region in Ordos Basin[J]. Acta Sedimentologica Sinica, 2008, 26(6): 933-938]
- 52 张道峰,杨文敬,漆亚玲,等. 鄂尔多斯盆地神木地区上古生界山西组物源分析[J]. 天然气地球科学,2009,20(6):902-906 [Zhang Daofeng, Yang Wenjing, Qi Yaling, *et al.* Analysis of the material

- source of Upper Paleozoic Shanxi Formation in Shenmu region of Ordos Basin [J]. *Natural Gas Geosciences*, 2009, 20(6): 902-906
- 53 王国茹, 陈洪德, 朱志军, 等. 川东南—湘西地区志留系小河坝组砂岩稀土元素特征及其地质意义 [J]. *石油实验地质*, 2010, 32(5): 487-495 [Wang Guoru, Chen Hongde, Zhu Zhijun, *et al.* The characteristics and geological implications of rare earth elements in sandstone of lower Silurian Xiaoheba Formation in the southeastern Sichuan-western Hunan [J]. *Petroleum Geology & Experiment*, 2010, 32(5): 487-495]
- 54 李明瑞. 鄂尔多斯盆地北部上古生界主要含气砂体沉积特征及储层控制因素研究 [D]. 成都: 成都理工大学, 2011: 1-186 [Li Mingrui. Depositional character and control factors of reservoir sandbody in major gas-bearing interval of Upper Paleozoic in North Ordos Basin [D]. Chengdu: Chengdu University of Technology, 2011: 1-186]
- 55 周安朝. 华北地块北缘晚古生代盆地演化及盆山耦合关系 [D]. 西安: 西北大学, 2000: 1-144 [Zhou Anchao. The evolution of Late Paleozoic basins in north margin of North China Block and the coupling relationship between basin and range [D]. Xi'an: Northwest University, 2000: 1-144]
- 56 王廷印, 高军平, 王金荣, 等. 内蒙古阿拉善北部地区碰撞期和后造山期岩浆作用 [J]. *地质学报*, 1998, 72(2): 126-137 [Wang Tingyin, Gao Junping, Wang Jinrong, *et al.* Magmatism of collisional and post-orogenic period in northern Alaxa region in Inner Mongolia [J]. *Acta Geologica Sinica*, 1998, 72(2): 126-137]
- 57 秦海鹏. 北祁连造山带早古生代花岗岩岩石学特征及其与构造演化的关系 [D]. 北京: 中国地质科学院, 2012: 1-141 [Qin Haipeng. Petrology of Early Paleozoic granites and their relation to tectonic evolution of orogen in the North Qilian Orogenic Belt [D]. Beijing: Chinese Academy of Geological Sciences, 2012: 1-141]
- 58 Boynton W V. Cosmochemistry of the rare earth elements: Meteorite studies [J]. *Dev Geochem*, 1984, 2: 63-114
- 59 冯益民, 何世平. 祁连山大地构造与造山作用 [M]. 北京: 地质出版社, 1996: 1-135 [Feng Yimin, He Shiping. Tectonics and Orogenesis of Qilian Mountains [M]. Beijing: Geological Publishing House, 1996: 1-135]
- 60 张旗, 孙晓猛, 周德进, 等. 北祁连蛇绿岩特征、形成环境及其构造意义 [J]. *地球科学进展*, 1997, 12(4): 366-393 [Zhang Qi, Sun Xiaomeng, Zhou Dejin, *et al.* The characteristics of North Qilian ophiolites, forming settings and their tectonic significance [J]. *Advance in Earth Sciences*, 1997, 12(4): 366-393]
- 61 孙晓猛, 张旗, 钱青. 甘肃肃南白泉门地区蛇绿混杂岩地质特征 [J]. *地球科学进展*, 1997, 12(40): 340-350 [Sun Xiaomeng, Zhang Qi, Qian Qing. The geological and geochemical features of the ophiolitic melange in Baiquanmen area from Sunan county, Gansu province [J]. *Advance in Earth Sciences*, 1997, 12(40): 340-350]
- 62 夏林圻, 夏祖春, 徐学义. 北祁连山早古生代洋脊—洋岛和弧后盆地火山作用 [J]. *地质学报*, 1998, 72(4): 301-312 [Xia Linqi, Xia Zuchun, Xu Xueyi. Early Paleozoic mid-ocean ridge island and back-arc basin volcanism in the North Qilian mountains [J]. *Acta Geologica Sinica*, 1998, 72(4): 301-312]
- 63 夏林圻, 夏祖春, 徐学义. 北祁连山奥陶纪弧后盆地火山岩成因 [J]. *中国地质*, 2003, 30(1): 48-60 [Xia Linqi, Xia Zuchun, Xu Xueyi. Magmagenesis of Ordovician back-arc basins in the Northern Qilian mountains [J]. *Geology in China*, 2003, 30(1): 48-60]
- 64 左国朝, 刘义科, 张崇. 北祁连造山带中—西段陆壳残块群的构造—地层特征 [J]. *地质科学*, 2002, 37(3): 302-312 [Zuo Guochao, Liu Yike, Zhang Chong. Tectono-stratigraphic characteristics of continent crustal remnants in central-western sector of the North Qilian orogen [J]. *Chinese Journal of Geology*, 2002, 37(3): 302-312]
- 65 杜远生, 朱杰, 韩欣, 等. 从弧后盆地到前陆盆地—北祁连造山带奥陶纪—泥盆纪的沉积盆地与构造演化 [J]. *地质通报*, 2004, 23(9/10): 911-917 [Du Yuansheng, Zhu Jie, Han Xin, *et al.* From the back-arc basin to foreland basin—Ordovician-Devonian sedimentary basin and tectonic evolution in the North Qilian orogenic belt [J]. *Geological Bulletin of China*, 2004, 23(9/10): 911-917]
- 66 杜远生, 朱杰, 顾松竹, 等. 北祁连造山带寒武系—奥陶系硅质岩沉积地球化学特征及其对多岛洋的启示 [J]. *中国科学 (D 辑): 地球科学*, 2007, 37(10): 1314-1329 [Du Yuansheng, Zhu Jie, Gu Songzhu, *et al.* Sedimentary geochemistry of the Cambrian-Ordovician cherts: Implication on archipelagic ocean of North Qilian orogenic belt [J]. *Science China (Seri. D): Earth Sciences*, 2007, 37(10): 1314-1329]
- 67 Du Y, Wang J, Han X, *et al.* From flysch to molasse—the sedimentary and tectonic evolution of the late Caledonian-early Hercynian foreland basin in North Qilian mountains [J]. *Journal of China University of Geosciences*, 2003, 13(1): 1-7
- 68 Darby B J, Gehrels G E. Detrital zircon reference for the North China Block [J]. *Journal of Asian Earth Sciences*, 2006, 26: 637-648
- 69 杨江海, 杜远生, 朱杰. 甘肃景泰崔家墩下奥陶统阴沟组砂岩化学组分特征及物源区构造背景判别 [J]. *古地理学报*, 2007, 9(2): 197-206 [Yang Jianghai, Du Yuansheng, Zhu Jie. Chemical component characteristics of sandstone and recognition to provenance tectonic setting of the Yingou Formation of Lower Ordovician at Cuijiadun section, Jingtai county of Gansu province [J]. *Journal of Palaeogeography*, 2007, 9(2): 197-206]
- 70 张抗. 论贺兰裂堑 [C] // 鄂尔多斯盆地西缘地区石油地质论文集. 呼和浩特: 内蒙古人民出版社, 1983: 29-40 [Zhang Kang. Discussion on Helan mountain in rifting grabens [C] // The Papers of Petroleum Geology on West Margin of Ordos Basin. Hohhot: Inner Mongolia People's Publishing House, 1983: 29-40]
- 71 张抗. 鄂尔多斯断块构造和资源 [M]. 西安: 陕西科学技术出版社, 1989: 193-250 [Zhang Kang. Tectonics and Resources of Ordos Fault Block [M]. Xi'an: Shaanxi Science & Technology Press, 1989: 193-250]
- 72 赵重远. 鄂尔多斯地块西缘构造演化及板块应力机制分析 [C] // 鄂尔多斯盆地西缘地区石油地质论文集. 呼和浩特: 内蒙人民出版社, 1983: 20-28 [Zhao Chongyuan. Geotectonic evolution and plate dynamics analysis of west Ordos massif [C] // Petroleum Geology Articles About West Ordos Basin. Hohhot: Inner Mongolia People's Publishing House, 1983: 20-28]
- 73 孙国凡, 刘景平. 贺兰坳拉槽与前渊盆地及其演化 [J]. *石油与天*

- 然气地质, 1983, 4(3): 236-245 [Sun Guofan, Liu Jingping. Helan aulacogen and front basin and their evolution [J]. Oil & Gas Geology, 1983, 4(3): 236-245]
- 74 冯益民, 何世平. 祁连山大地构造与造山作用 [M]. 北京: 地质出版社, 1996: 1-135 [Feng Yimin, He Shiping. Tectonics and Orogenesis of Qilian Mountains [M]. Beijing: Geological Publishing House, 1996: 1-135]
- 75 张旗, 王岳明, 钱青, 等. 甘肃景泰县老虎山地区蛇绿岩及其上覆岩系中枕状熔岩的地球化学特征 [J]. 岩石学报, 1997, 13(1): 92-99 [Zhang Qi, Wang Yueming, Qian Qing, et al. Geochemical characteristics of pillow lavas in ophiolite and its overlying rock sequence in the Laohushan area from Jingtai country, Gansu province [J]. Acta Petrologica Sinica, 1997, 13(1): 92-99]
- 76 张进, 马宗晋, 任文军. 再论贺兰山地区新生代之前拉张活动的性质 [J]. 石油学报, 2004, 25: 8-11 [Zhang Jin, Ma Zongjin, Ren Wenjun. Re-discussion on natures of extension in Helan shan region before Cenozoic era [J]. Acta Petrologica Sinica, 2004, 25: 8-11]
- 77 何自新. 鄂尔多斯盆地演化与油气 [M]. 北京: 石油工业出版社, 2003: 22-31 [He Zixin. Evolution and Hydrocarbon in Ordos Basin [M]. Beijing: Petroleum Industry Press, 2003: 22-31]
- 78 邱领军, 谢广成. 对贺兰拗拉槽的质疑 [J]. 岩性油气藏, 2008, 20(2): 16-21, 36 [Di Lingjun, Xie Guangcheng. Queries about Helan aulacogen [J]. Lithologic Reservoirs, 2008, 20(2): 16-21, 36]

Provenance and Tectonic Settings Analysis of Yingtaogou Formation of Middle Ordovician in Helan Mountain Area

WANG Zhen-tao ZHOU Hong-rui WANG Xun-lian JING Xiu-chun

(School of the Earth Sciences and Resources, China University of Geosciences, Beijing 100083)

Abstract: Yingtaogou Formation in the Helan Mountain area, located in the western margin of Ordos basin, consists of a set of terrigenous detrital rocks, with carbonate slump gravity flow deposits. The Early Paleozoic tectonic setting of Ordos basin is still in debate due to the lack of reliable material source data. In this paper, the petrologic and geochemical characteristics have been researched systematically. The characteristics of debris composition of sandstone show that Yingtaogou Formation comes from recycling orogeny area. The geochemical signatures of major and trace elements of sandstone from Yingtaogou Formation indicate its double provenance supply feature. More specifically, comparison study on REE distribution patterns shows clastic rocks from Yingtaogou Formation derive from Alashan and/or North Qilian orogenic belt. The geochemical signatures of major and trace elements and REEs, in combination with the discrimination diagrams for tectonic settings have mirrored that the study area when Yingtaogou Formation deposited was surrounded by the active and passive continental margin, which means it is affected by both Helan aulacogen and North Qilian Early Paleozoic orogenic belt. REE patterns between Yingtaogou Formation and its adjacent areas display the former is in accordance with Alashan paleolandmass to the northwest and granite from North Qilian Early Paleozoic orogenic belt, and the REE distribution pattern show they are rich in LREE and lack of HREE and exhibit slightly Eu anomalies and marked negative Tm anomalies. After comprehensive consideration of the middle Ordovician palaeocurrents in the western Ordos and detrital zircon age features, this paper suggests that the provenance of Yingtaogou Formation was mainly the North Qilian orogenic belt and the Alashan paleolandmass as a minor one.

Key words: Ordos Basin; Helan Mountain area; Yingtaogou Formation; tectonic setting; provenance; North Qilian orogenic belt